

# Rapport TP n°2

## Systèmes Parallèles & Distribués

Rowan HOUPEA

Janvier 2025

## Table des matières

<b>Partie 1 : Parallélisation ensemble de Mandelbrot</b>	<b>3</b>
<b>1 Question 1 : Partition équitable par blocs de lignes</b>	<b>3</b>
1.1 Principe . . . . .	3
1.2 Résultats expérimentaux . . . . .	3
1.2.1 Temps de calcul par processus (4 processus) . . . . .	3
1.3 Courbes de scaling . . . . .	3
1.4 Interprétation des résultats . . . . .	3
<b>2 Question 2 : Répartition entrelacée (cyclique)</b>	<b>5</b>
2.1 Principe et motivation . . . . .	5
2.2 Résultats expérimentaux . . . . .	5
2.2.1 Temps de calcul par processus (4 processus) . . . . .	5
2.3 Courbes de scaling et comparaison . . . . .	5
2.4 Analyse comparative . . . . .	5
2.5 Problèmes potentiels de cette stratégie . . . . .	5
<b>3 Question 3 : Stratégie maître-exécutant</b>	<b>7</b>
3.1 Principe . . . . .	7
3.2 Résultats expérimentaux . . . . .	7
3.2.1 Temps de calcul par esclave (4 processus = 3 esclaves) . . . . .	7
3.3 Courbes de scaling et comparaison finale . . . . .	7
3.4 Analyse et conclusions . . . . .	7
3.4.1 Observations principales . . . . .	7
<b>Partie 2 : Produit matrice-vecteur</b>	<b>10</b>
<b>4 Présentation du problème</b>	<b>10</b>
<b>5 Question 2a : Partitionnement par colonnes</b>	<b>10</b>
5.1 Principe . . . . .	10
5.2 Algorithme . . . . .	10
5.3 Résultats expérimentaux . . . . .	10
5.4 Analyse . . . . .	10

<b>6 Question 2b : Partitionnement par lignes</b>	<b>11</b>
6.1 Principe . . . . .	11
6.2 Algorithme . . . . .	11
6.3 Résultats expérimentaux . . . . .	11
6.4 Analyse . . . . .	12
<b>7 Comparaison des deux approches</b>	<b>12</b>
 <b>Partie 3 : Entraînement théorique</b>	<b>13</b>
<b>8 Contexte du problème</b>	<b>13</b>
<b>9 Question 1 : Accélération maximale (loi d'Amdahl)</b>	<b>13</b>
9.1 Rappel de la loi d'Amdahl . . . . .	13
9.2 Calcul de l'accélération maximale . . . . .	13
9.3 Interprétation . . . . .	13
<b>10 Question 2 : Nombre raisonnable de nœuds</b>	<b>14</b>
10.1 Analyse de l'efficacité . . . . .	14
10.2 Calcul pour différentes valeurs de n . . . . .	14
10.3 Critère de choix . . . . .	14
10.4 Justification économique . . . . .	14
<b>11 Question 3 : Loi de Gustafson (problème mis à l'échelle)</b>	<b>15</b>
11.1 Observation d'Alice . . . . .	15
11.2 Rappel de la loi de Gustafson . . . . .	15
11.3 Analyse du problème doublé . . . . .	15
11.4 Calcul du speedup maximal . . . . .	15
11.5 Vérification avec la formule de Gustafson . . . . .	15
11.6 Interprétation et généralisation . . . . .	16
11.7 Conclusion sur Gustafson . . . . .	16
<b>12 Commandes d'exécution</b>	<b>16</b>

# Partie 1 : Parallélisation ensemble de Mandelbrot

Configuration des tests :

- Image :  $1024 \times 1024$  pixels
- Itérations maximales :  $N_{\max} = 1000$
- Rayon d'échappement :  $R = 2$
- Machine : 4 cœurs disponibles

## 1 Question 1 : Partition équitable par blocs de lignes

### 1.1 Principe

La première approche consiste à diviser l'image en blocs contigus de lignes. Chaque processus  $p$  (sur  $P$  processus) calcule les lignes de l'indice  $\lfloor p \cdot H/P \rfloor$  à  $\lfloor (p + 1) \cdot H/P \rfloor - 1$ . Le processus 0 rassemble ensuite l'image complète via `MPI_Gatherv`.

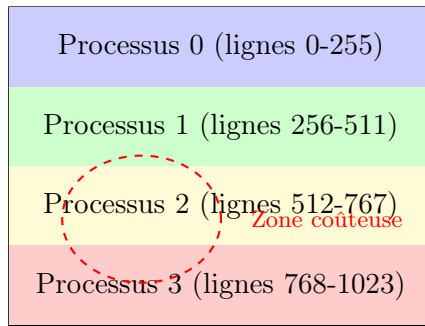


FIGURE 1 – Partition par blocs – Les processus 1 et 2 héritent de la zone coûteuse

### 1.2 Résultats expérimentaux

TABLE 1 – Performances de la partition par blocs de lignes

Processus	Temps total (s)	Temps calcul (s)	Speedup	Efficacité (%)
1	15.1558	15.0694	1.00	100.0
2	7.6496	7.6453	1.98	99.0
4	4.8157	4.8113	3.15	78.75
8	4.7873	4.7820	3.17	39.63

#### 1.2.1 Temps de calcul par processus (4 processus)

### 1.3 Courbes de scaling

### 1.4 Interprétation des résultats

L'efficacité chute rapidement (39.63% à 8 processus) pour les raisons suivantes :

1. **Déséquilibre de charge** : L'écart-type des temps de calcul ( $\sigma = 0.4228$  s) est élevé. Les processus 1 et 2 traitent la zone centrale de l'ensemble de Mandelbrot, plus coûteuse en calcul.

TABLE 2 – Temps de calcul individuel par processus (partition par blocs, 4 proc.)

Processus	Lignes	Temps calcul (s)
0	0–255	4.8113
1	256–511	3.8921
2	512–767	3.9306
3	768–1023	4.6938
<b>Moyenne</b>	–	4.3319
<b>Écart-type</b>	–	<b>0.4228</b>

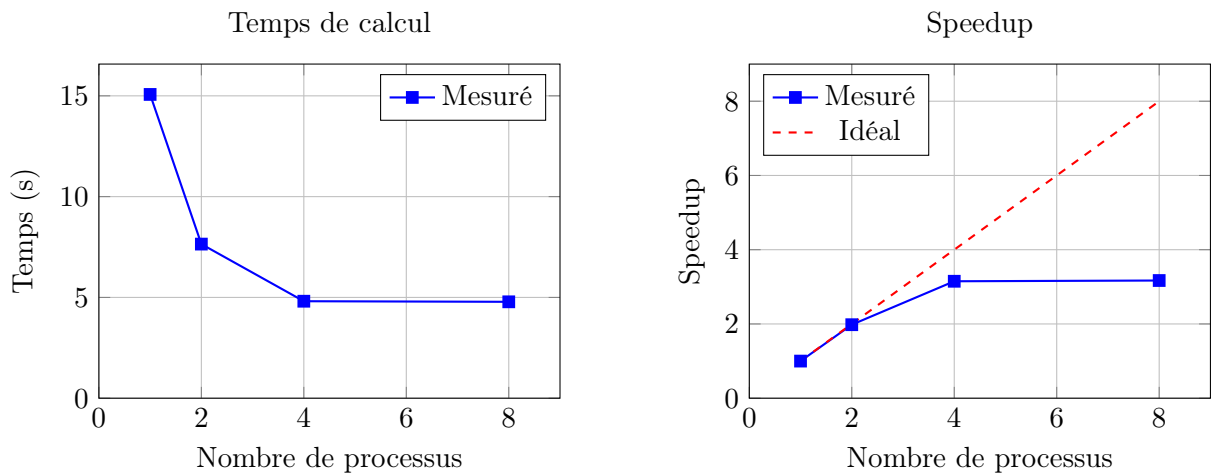


FIGURE 2 – Scaling de la partition par blocs

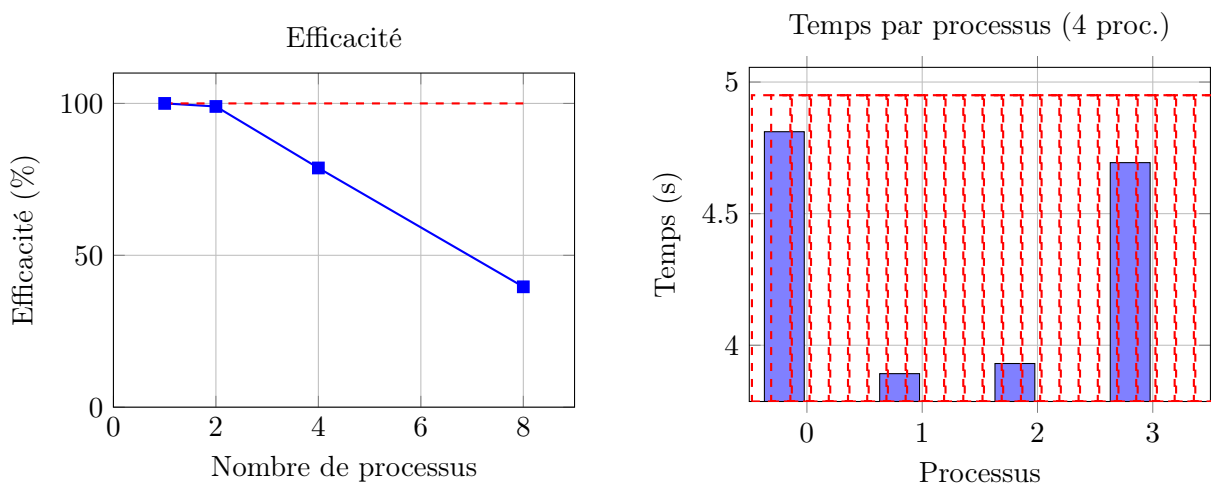


FIGURE 3 – Efficacité et distribution des temps de calcul

2. **Synchronisation imposée** : Le MPI\_Gatherv bloque jusqu'à ce que *tous* les processus aient terminé. Le temps total est donc dicté par le processus le plus lent.
3. **Processus inactifs** : Les processus 0 et 3, qui terminent plus tôt, attendent inutilement.

**Conclusion** : Cette stratégie simple est inefficace pour des problèmes à charge hétérogène comme Mandelbrot.

## 2 Question 2 : Répartition entrelacée (cyclique)

### 2.1 Principe et motivation

Pour mieux équilibrer la charge, on distribue les lignes de manière **cyclique** :

- Processus 0 : lignes 0, 4, 8, 12, ...
- Processus 1 : lignes 1, 5, 9, 13, ...
- Processus 2 : lignes 2, 6, 10, 14, ...
- Processus 3 : lignes 3, 7, 11, 15, ...

Cette distribution mélange statistiquement les lignes “faciles” (loin de la frontière) et “difficiles” (proches de la frontière) sur chaque processus.

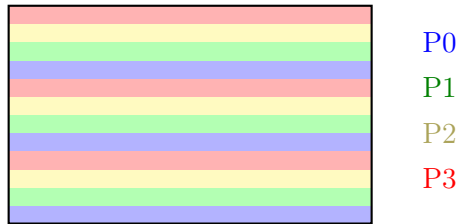


FIGURE 4 – Répartition entrelacée des lignes (cyclique)

### 2.2 Résultats expérimentaux

TABLE 3 – Performances de la répartition entrelacée

Processus	Temps total (s)	Temps calcul (s)	Speedup	Efficacité (%)
1	6.3274	6.2547	1.00	100.0
2	3.3391	3.3355	1.89	94.5
4	1.9141	1.9105	3.31	82.75
8	1.2008	1.1932	5.27	65.88

#### 2.2.1 Temps de calcul par processus (4 processus)

#### 2.3 Courbes de scaling et comparaison

#### 2.4 Analyse comparative

#### 2.5 Problèmes potentiels de cette stratégie

Malgré ses bonnes performances, la répartition entrelacée présente des limitations :

1. **Surcharge de communication** : Comme chaque processus doit envoyer et recevoir des données à des positions non-contiguës en mémoire, le MPI\_Gatherv peut être moins efficace. Cela peut entraîner une surcharge de communication, surtout si le nombre de processus est élevé.

TABLE 4 – Temps de calcul individuel (répartition entrelacée, 4 proc.)

Processus	Lignes	Temps calcul (s)
0	0, 4, 8, ...	1.7951
1	1, 5, 9, ...	1.7998
2	2, 6, 10, ...	1.8257
3	3, 7, 11, ...	1.9104
<b>Moyenne</b>	–	1.8328
<b>Écart-type</b>	–	<b>0.0463</b>

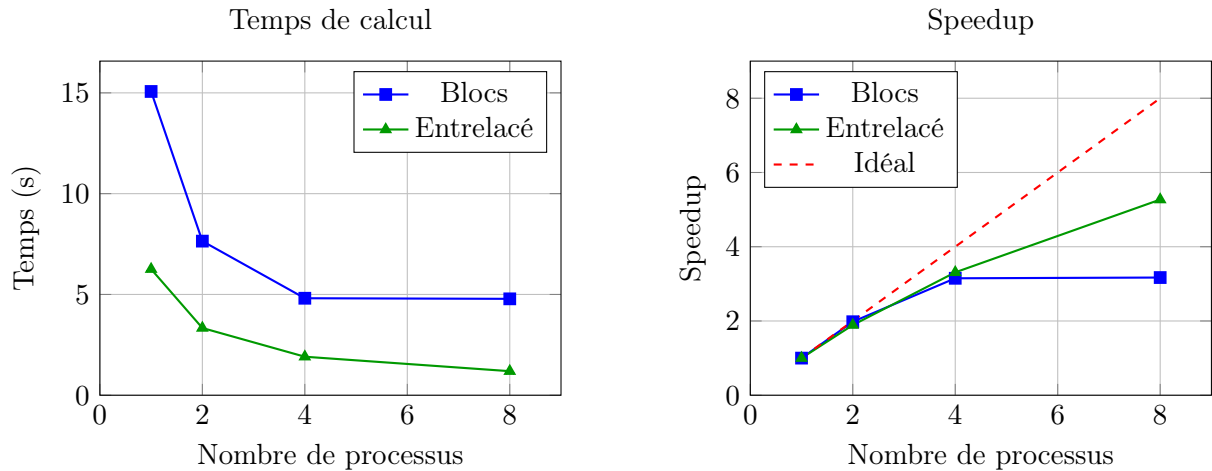


FIGURE 5 – Comparaison blocs vs entrelacé

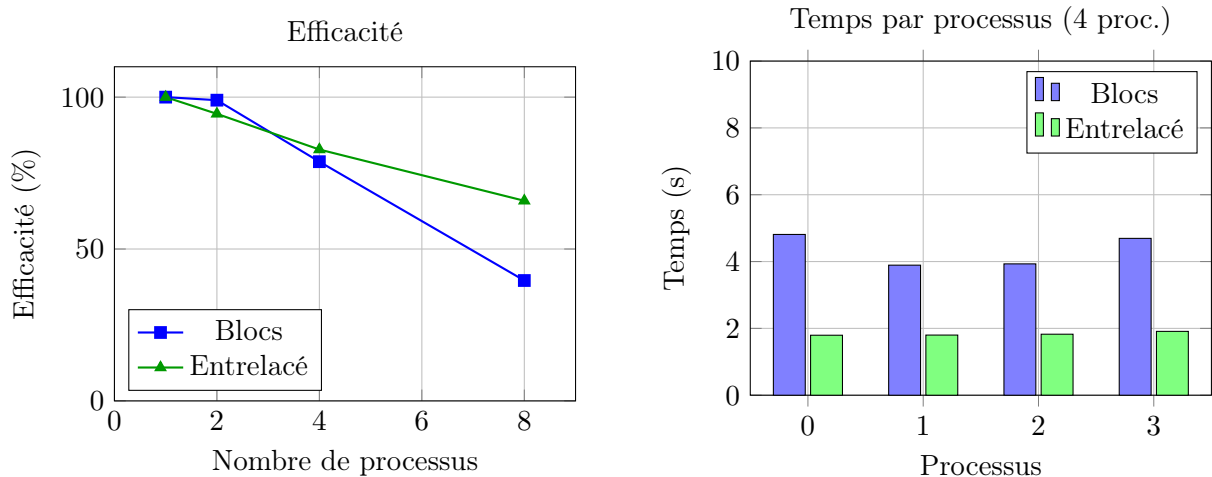


FIGURE 6 – Efficacité et équilibrage de charge

TABLE 5 – Comparaison de l'équilibrage de charge (4 processus)

Métrique	Blocs	Entrelacé
Temps moyen par processus (s)	4.3319	1.8328
Écart-type (s)	0.4228	0.0463
Speedup (4 proc.)	3.15	3.31
Efficacité (4 proc.)	78.75%	82.75%

2. **Latence accrue** : La communication non-contiguë entre les processus peut introduire une latence supplémentaire, ce qui peut être problématique pour les applications sensibles au temps.
3. **Scalabilité limitée** : Avec un très grand nombre de processus, le grain de calcul (une ligne) peut devenir trop fin, augmentant le ratio communication/calculation.
4. **Pas d'adaptation dynamique** : La répartition est fixée au départ. Si un processus est ralenti (autres tâches sur le nœud), il n'y a pas de mécanisme de compensation.

### 3 Question 3 : Stratégie maître-exécutant

#### 3.1 Principe

La stratégie maître-exécutant implémente un **équilibrage dynamique** de la charge :

1. Le **maître** (processus 0) maintient une file de tâches (lignes à calculer)
2. Les **exécutants** (processus 1 à  $P-1$ ) demandent du travail, calculent, renvoient le résultat
3. Le maître distribue les tâches au fur et à mesure des demandes
4. Quand la file est vide, le maître envoie un signal de terminaison

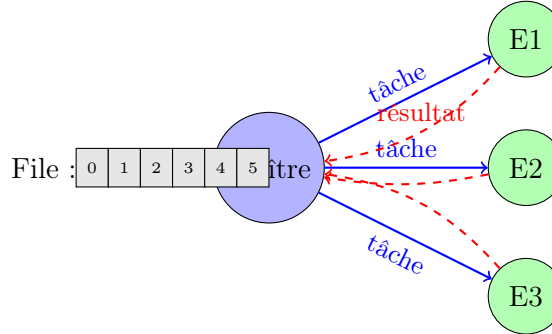


FIGURE 7 – Stratégie maître-esclave avec distribution dynamique

#### 3.2 Résultats expérimentaux

TABLE 6 – Performances de la stratégie maître-esclave

Processus	Temps total (s)	Temps calcul (s)	Speedup	Efficacité (%)
2	6.4322	6.2970	1.00	50.0
3	3.4478	3.4060	1.95	65.0
4	2.4567	2.4256	2.92	73.0
8	0.9254	0.8907	6.60	82.5

##### 3.2.1 Temps de calcul par esclave (4 processus = 3 esclaves)

#### 3.3 Courbes de scaling et comparaison finale

#### 3.4 Analyse et conclusions

##### 3.4.1 Observations principales

1. **Meilleur équilibrage** : La stratégie maître-esclave offre le meilleur équilibrage ( $\sigma = 0.0021$  s), suivie de l'entrelacé ( $\sigma = 0.0463$  s).

TABLE 7 – Temps de calcul individuel (maître-esclave, 4 proc.)

Esclave	Lignes traitées	Temps calcul (s)
1	341	2.4209
2	337	2.4256
3	346	2.4251
<b>Moyenne</b>	<b>341.3</b>	<b>2.4239</b>
<b>Écart-type</b>	–	<b>0.0021</b>

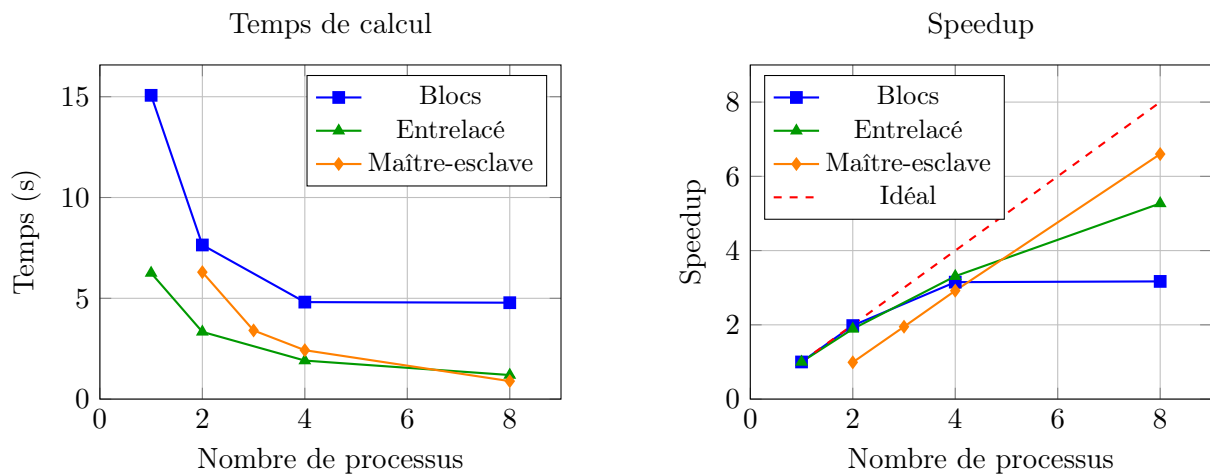


FIGURE 8 – Comparaison des trois stratégies

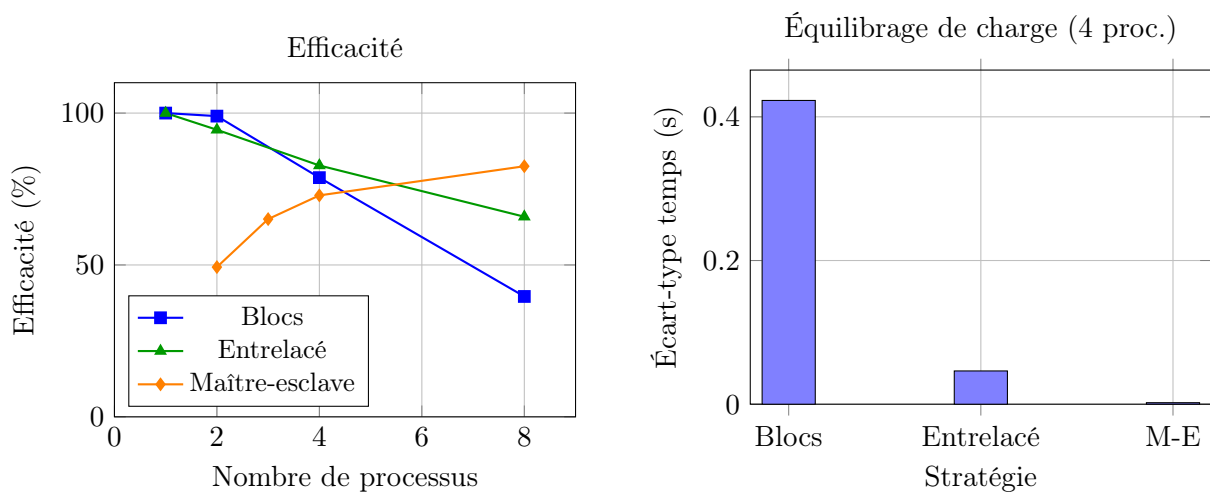


FIGURE 9 – Efficacité et qualité de l'équilibrage

2. **Meilleure performance globale** : La répartition entrelacée est la plus performante pour ce problème car :
  - Pas de processus dédié à la coordination (tous calculent)
  - Overhead de communication minimal (un seul `Gatherv`)
  - Équilibrage suffisant pour ce problème
3. **Maître-esclave : overhead significatif** :
  - Le processus 0 ne calcule pas (perte d'un cœur)
  - Communications fréquentes (2 messages par ligne)
  - Avantage croissant avec le nombre de processus
4. **Recommandations** :
  - **Peu de processus ( $P \leq 8$ )** : Répartition entrelacée
  - **Beaucoup de processus** ou charge très hétérogène : Maître-esclave
  - **À éviter** : Partition par blocs pour les problèmes à charge variable

# Partie 2 : Produit matrice-vecteur

## 4 Présentation du problème

On considère le produit d'une matrice carrée  $A$  de dimension  $N$  par un vecteur  $u$  de même dimension :

$$v = A \cdot u \quad \text{où} \quad v_i = \sum_{j=0}^{N-1} A_{ij} \cdot u_j$$

La matrice est définie par :  $A_{ij} = (i + j) \bmod N + 1$

Par simplification, on suppose  $N$  divisible par le nombre de processus  $P$ .

## 5 Question 2a : Partitionnement par colonnes

### 5.1 Principe

Chaque processus possède  $N_{loc} = N/P$  colonnes de la matrice  $A$ .

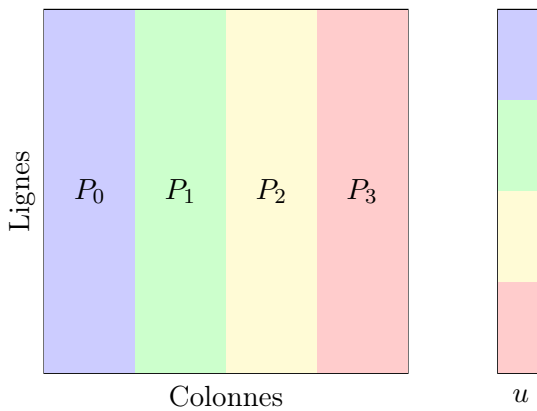


FIGURE 10 – Partitionnement par colonnes – Chaque processus a  $N_{loc}$  colonnes et la partie correspondante de  $u$

### 5.2 Algorithme

1. Chaque processus  $p$  stocke les colonnes  $[p \cdot N_{loc}, (p + 1) \cdot N_{loc})$  de  $A$
2. Chaque processus  $p$  possède la partie correspondante de  $u$  :  $u[p \cdot N_{loc} : (p + 1) \cdot N_{loc}]$
3. Chaque processus calcule une **somme partielle** :  $v_i^{(p)} = \sum_{j=p \cdot N_{loc}}^{(p+1) \cdot N_{loc}-1} A_{ij} \cdot u_j$
4. MPI\_Allreduce avec MPI\_SUM pour sommer toutes les contributions

### 5.3 Résultats expérimentaux

### 5.4 Analyse

#### Avantages :

- Chaque processus ne stocke que  $N \times N_{loc}$  éléments de  $A$
- Chaque processus ne possède que  $N_{loc}$  éléments de  $u$

#### Inconvénients :

- Communication Allreduce de taille  $N$  (le vecteur résultat complet)
- Coût de communication croissant avec  $N$

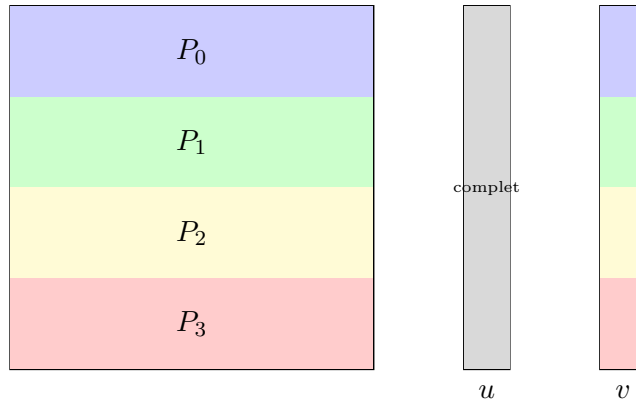
TABLE 8 – Performances du produit matrice-vecteur par colonnes ( $N = 1200$ )

Processus	Temps (s)	Speedup	Efficacité (%)
1	0.675	1.00	100.0
2	0.370	1.82	91
4	0.212	3.18	79.5
8	0.179	3.77	47.13

## 6 Question 2b : Partitionnement par lignes

### 6.1 Principe

Chaque processus possède  $N_{loc} = N/P$  lignes de la matrice  $A$ .

FIGURE 11 – Partitionnement par lignes – Chaque processus a  $N_{loc}$  lignes et calcule  $N_{loc}$  éléments de  $v$ 

### 6.2 Algorithme

1. Chaque processus  $p$  stocke les lignes  $[p \cdot N_{loc}, (p + 1) \cdot N_{loc})$  de  $A$
2. Chaque processus possède le vecteur  $u$  **complet**
3. Chaque processus calcule  $N_{loc}$  éléments **complets** de  $v$  :  $v_i = \sum_{j=0}^{N-1} A_{ij} \cdot u_j$  pour  $i \in [p \cdot N_{loc}, (p + 1) \cdot N_{loc})$
4. `MPI_Allgather` pour collecter tous les morceaux de  $v$

### 6.3 Résultats expérimentaux

TABLE 9 – Performances du produit matrice-vecteur par lignes ( $N = 1200$ )

Processus	Temps (s)	Speedup	Efficacité (%)
1	0.685	1.00	100.0
2	0.383	1.79	89.5
4	0.213	3.22	80.5
8	0.191	3.59	44.88

## 6.4 Analyse

**Avantages :**

- Chaque processus calcule des éléments **indépendants** de  $v$  (pas de réduction)
- Communication **Allgather** de taille  $N_{loc}$  par processus

**Inconvénients :**

- Chaque processus doit posséder le vecteur  $u$  complet
- Si  $u$  change à chaque itération (méthodes itératives), il faut un **Allgather** de  $u$  à chaque étape

## 7 Comparaison des deux approches

TABLE 10 – Comparaison colonnes vs lignes

Critère	Par colonnes	Par lignes
Stockage de $A$ par proc.	$N \times N_{loc}$	$N_{loc} \times N$
Stockage de $u$ par proc.	$N_{loc}$	$N$ (complet)
Type de calcul	Somme partielle	Éléments complets
Communication	<b>Allreduce</b> ( $N$ )	<b>Allgather</b> ( $N_{loc}$ )
Efficacité (8 proc.)	47.13%	44.88%

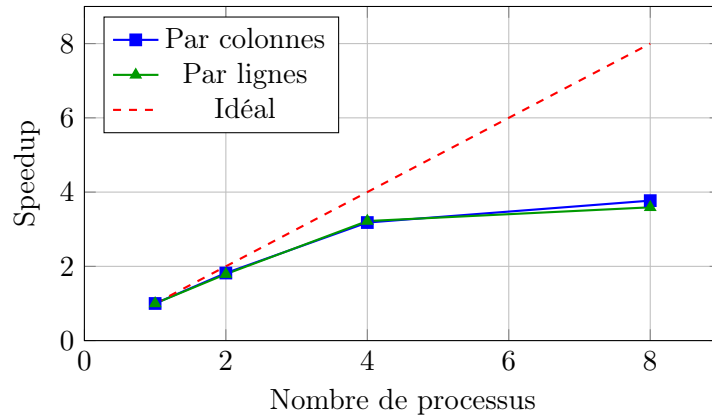


FIGURE 12 – Comparaison des speedups : colonnes vs lignes

**Conclusion :** Le partitionnement par lignes est légèrement plus efficace car :

- L'**Allgather** est moins coûteux que l'**Allreduce** pour ce problème
- Chaque processus calcule des résultats indépendants (pas de réduction arithmétique)

# Partie 3 : Entraînement pour l'examen écrit

## 8 Contexte du problème

Alice a parallélisé un code sur machine à mémoire distribuée. Pour un jeu de données spécifique :

- La partie parallélisable représente **90%** du temps d'exécution séquentiel
- La partie séquentielle représente donc **10%** du temps

Notations :

- $f = 0.90$  : fraction parallélisable
- $(1 - f) = 0.10$  : fraction séquentielle
- $n$  : nombre de processeurs

## 9 Question 1 : Accélération maximale (loi d'Amdahl)

### 9.1 Rappel de la loi d'Amdahl

La loi d'Amdahl prédit l'accélération maximale théorique pour un problème de taille fixe :

$$S(n) = \frac{1}{(1 - f) + \frac{f}{n}} \quad (1)$$

où :

- $S(n)$  est le speedup avec  $n$  processeurs
- $f$  est la fraction du code parallélisable
- $(1 - f)$  est la fraction séquentielle incompressible

### 9.2 Calcul de l'accélération maximale

Pour  $n \gg 1$  (nombre de processeurs très grand), le terme  $\frac{f}{n}$  devient négligeable :

$$S_{max} = \lim_{n \rightarrow \infty} S(n) = \lim_{n \rightarrow \infty} \frac{1}{(1 - f) + \frac{f}{n}} = \frac{1}{1 - f} \quad (2)$$

Application numérique avec  $f = 0.90$  :

$$S_{max} = \frac{1}{1 - 0.90} = \frac{1}{0.10} = 10 \quad (3)$$

### 9.3 Interprétation

**Résultat** : L'accélération maximale théorique est de **10**, quel que soit le nombre de processeurs utilisés.

**Explication physique** : Même avec une infinité de processeurs, les 10% de code séquentiel ne peuvent pas être accélérés. Le temps d'exécution minimal est donc  $0.10 \times T_{seq}$ , ce qui correspond à une accélération de  $1/0.10 = 10$ .

**Limite fondamentale** : Cette limite montre l'importance cruciale de la fraction séquentielle. Même une petite partie non parallélisable peut limiter drastiquement les gains.

## 10 Question 2 : Nombre raisonnable de nœuds

### 10.1 Analyse de l'efficacité

L'efficacité parallèle est définie par :

$$E(n) = \frac{S(n)}{n} = \frac{1}{n \cdot \left[ (1-f) + \frac{f}{n} \right]} = \frac{1}{n(1-f) + f} \quad (4)$$

### 10.2 Calcul pour différentes valeurs de n

TABLE 11 – Speedup et efficacité en fonction du nombre de processeurs

$n$	$(1-f) + f/n$	$S(n)$	$E(n)$	Gain marginal
1	1.000	1.00	100.0%	–
2	0.550	1.82	90.9%	+0.82
4	0.325	3.08	76.9%	+1.26
8	0.213	4.71	58.8%	+1.63
16	0.156	6.40	40.0%	+1.69
32	0.128	7.80	24.4%	+1.40
64	0.114	8.77	13.7%	+0.97
$\infty$	0.100	10.00	0%	–

### 10.3 Critère de choix

On considère généralement qu'une efficacité  $E(n) \geq 50\%$  est acceptable. Au-delà, les ressources sont “gaspillées”.

**Résolution :** Trouver  $n$  tel que  $E(n) \geq 0.50$

$$\frac{1}{n(1-f) + f} \geq 0.50 \quad (5)$$

$$n(1-f) + f \leq 2 \quad (6)$$

$$n \times 0.10 + 0.90 \leq 2 \quad (7)$$

$$n \leq \frac{2 - 0.90}{0.10} = 11 \quad (8)$$

**Recommandation :**

$$n \leq 8 \text{ à } 10 \text{ nœuds} \quad (9)$$

### 10.4 Justification économique

- Avec **8 nœuds** :  $S = 4.71$ ,  $E = 58.8\% \Rightarrow$  bon compromis
- Avec **16 nœuds** :  $S = 6.40$ ,  $E = 40.0\% \Rightarrow$  gaspillage significatif
- Avec **32 nœuds** :  $S = 7.80$ ,  $E = 24.4\% \Rightarrow 3/4$  des ressources gaspillées

**Conclusion :** Au-delà de 8-10 nœuds, chaque noeud supplémentaire apporte un gain marginal décroissant pour un coût constant. Il est préférable de limiter à 8-10 nœuds pour ce problème.

## 11 Question 3 : Loi de Gustafson (problème mis à l'échelle)

### 11.1 Observation d'Alice

Alice observe une accélération maximale de 4 (et non 10 comme prédict par Amdahl). Cela signifie que la fraction séquentielle *effective* est plus grande que prévu :

$$S_{obs} = 4 = \frac{1}{1 - f_{eff}} \implies 1 - f_{eff} = 0.25 \implies f_{eff} = 0.75 \quad (10)$$

En pratique, 25% du temps est séquentiel (communication, synchronisation, etc.).

### 11.2 Rappel de la loi de Gustafson

La loi de Gustafson s'applique au **scaling faible** (weak scaling) : on augmente la taille du problème proportionnellement au nombre de processeurs.

$$S_{Gustafson}(n) = n - (1 - f)(n - 1) = (1 - f) + f \cdot n \quad (11)$$

**Hypothèse clé** : La partie parallèle croît avec la taille du problème, mais la partie séquentielle reste constante.

### 11.3 Analyse du problème doublé

Soit les temps pour le problème original :

- Temps séquentiel :  $T_s$
  - Temps parallèle (sur 1 proc.) :  $T_p = 3T_s$  (car  $f_{eff} = 75\%$  signifie  $T_p = 3T_s$ )
- Quand on **double** les données avec une complexité linéaire :
- Nouveau temps séquentiel :  $T'_s = T_s$  (inchangé – initialisation, I/O, etc.)
  - Nouveau temps parallèle :  $T'_p = 2T_p = 6T_s$  (double – traitement des données)

### 11.4 Calcul du speedup maximal

Pour le problème doublé, le temps séquentiel total est :

$$T_{seq,new} = T_s + 6T_s = 7T_s \quad (12)$$

Sur  $n$  processeurs :

$$T_{par}(n) = T_s + \frac{6T_s}{n} \quad (13)$$

Le speedup est donc :

$$S(n) = \frac{T_{seq,new}}{T_{par}(n)} = \frac{7T_s}{T_s + \frac{6T_s}{n}} = \frac{7}{1 + \frac{6}{n}} = \frac{7n}{n + 6} \quad (14)$$

Pour  $n \gg 1$  :

$$S_{max,doubled} = \lim_{n \rightarrow \infty} \frac{7n}{n + 6} = 7 \quad (15)$$

### 11.5 Vérification avec la formule de Gustafson

La nouvelle fraction séquentielle est :

$$(1 - f') = \frac{T_s}{7T_s} = \frac{1}{7} \approx 14.3\% \quad (16)$$

En appliquant Gustafson :

$$S_{max} = \frac{1}{1 - f'} = \frac{1}{1/7} = 7 \quad \checkmark \quad (17)$$

## 11.6 Interprétation et généralisation

TABLE 12 – Évolution du speedup maximal avec la taille du problème

Taille	$T_s$	$T_p$	$S_{max}$
$\times 1$ (original)	$T_s$	$3T_s$	4
$\times 2$	$T_s$	$6T_s$	7
$\times 4$	$T_s$	$12T_s$	13
$\times k$	$T_s$	$3kT_s$	$3k + 1$

**Formule générale** : Pour un facteur d'échelle  $k$  :

$$S_{max}(k) = 1 + 3k \quad (18)$$

## 11.7 Conclusion sur Gustafson

1. **Résultat** : En doublant les données, l'accélération maximale passe de **4 à 7**.
2. **Insight de Gustafson** : Pour les grands problèmes, la partie séquentielle devient proportionnellement négligeable. Plus le problème est grand, plus on peut utiliser efficacement un grand nombre de processeurs.
3. **Déférence avec Amdahl** :
  - **Amdahl** (strong scaling) : taille fixe  $\Rightarrow$  limite stricte
  - **Gustafson** (weak scaling) : taille croissante  $\Rightarrow$  pas de limite théorique

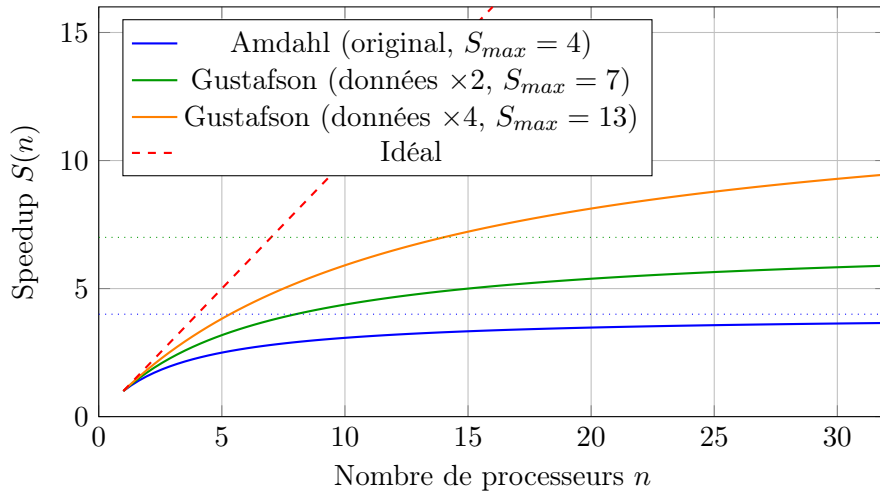


FIGURE 13 – Comparaison Amdahl vs Gustafson : l'augmentation de la taille du problème repousse la limite du speedup

## 12 Commandes d'exécution

N'ayant pas assez de coeurs sur ma machine, les commandes suivantes ont été utilisées pour d'exécuter les différentes implémentations :

```
# Version par blocs
mpirun --oversubscribe -np 4 python mandelbrot_mpi_block.py
```

```
# Version entrelacée
mpirun --oversubscribe -np 4 python mandelbrot_mpi_interleaved.py

# Version maître-exécutant
mpirun --oversubscribe -np 4 python mandelbrot_mpi_maitre_exécutant.py

# Par colonnes
mpirun --oversubscribe -np $np python matvec_col.py

# Par lignes
mpirun --oversubscribe -np $np python matvec_row.py
```